

В.Л. ДЯТЛОВ

ОБ УРАВНЕНИЯХ, ОПИСЫВАЮЩИХ ПРОЦЕССЫ В ФЕРРОМАГНИТНЫХ  
ПЛЕНКАХ

В ферромагнитных пленках может возникать ряд явлений, представляющих большой интерес для практических приложений, в частности при использовании ферромагнитных пленок в элементах вычислительных машин.

Целый ряд таких явлений можно проанализировать, используя уже полученные дифференциальные уравнения, описывающие движение магнитного момента в однодоменной ферромагнитной пленке [8, 18]. Один из способов получения этого уравнения приведен в данной работе.

Решая это уравнение совместно с соответствующими дополнительными уравнениями, можно проанализировать параметрические колебания, непрерывное вращение вектора намагниченности, ферромагнитный резонанс и другие явления в пленках. При этом решение можно более эффективно проводить на электронной вычислительной машине.

I. Уравнение движения магнитного момента в  
ферромагнитной однодоменной пленке

Движение магнитного момента в ферромагнетике описывается уравнением Ландау-Лифшица-Гильберта [1,2], которое имеет вид:

$$\frac{\partial \vec{M}}{\partial t} = [\vec{M} \vec{H}] - \frac{\gamma}{M} [\vec{M} [\vec{M} \vec{H}]], \quad (1)$$

где  $\vec{M}$  - вектор намагниченности в произвольной точке ферромагнетика;

$M$  - модуль вектора намагниченности;

$H$  - эквивалентное поле в рассматриваемой точке ферромагнетика;

$\mathcal{L}$  - коэффициент релаксации;

$$\tau = t\mu_0\gamma [1 + \alpha^2]^{-1}$$

где  $t$  - время,

$$\mu_0 = 4\pi \cdot 10^{-9} \text{ гн} \cdot \text{см}^{-1},$$

$$\gamma = 1,76 \cdot 10^{15} \text{ см}^2 \text{г}^{-1} \text{сек}^{-2},$$

$\gamma$  - магнетомеханическое отношение.

Уравнение (I) составлено при условии, что величина модуля вектора  $\vec{M}$  остается постоянной при движении  $\vec{M}$ . Выражение для эквивалентного поля  $\vec{H}$  можно получить из условия, что суммарная энергия ферромагнетика в равновесном состоянии должна быть минимальной.

Эта энергия выражается интегралом:

$$\int_V (E_e + E_o + E_a + E_A) dV, \quad (2)$$

где  $E_e = -\mu_0(\vec{H}_e \vec{M})$  - плотность энергии внешнего поля;

$E_o$  - плотность энергии размагничивающих полей;

$E_a$  - плотность энергии анизотропии;

$E_A = c(\Delta \vec{M} \nabla \vec{M})$  - плотность обменной энергии;

$V$  - объем ферромагнетика.

$$c = \frac{A}{2\alpha M^2},$$

где  $A$  - интеграл обмена;

$\alpha$  - постоянная кристаллической решетки.

Для отыскания минимума суммарной энергии необходимо найти экстремумы функционала (2). По Ландау и Лифшицу этот функционал представляется в виде функции вектора намагниченности  $\vec{M}$ , и его экстремумы отыскиваются относительно вариации вектора намагниченности  $\delta \vec{M}$  [3]. При этом необходимо рассматривать случаи, когда  $E_o$  и  $E_a$  представляются функциями вектора  $\vec{M}$ .

Так как в декартовых координатах

$$\nabla \vec{M} \nabla \vec{M} = \left(\frac{\partial \vec{M}}{\partial x}\right)^2 + \left(\frac{\partial \vec{M}}{\partial y}\right)^2 + \left(\frac{\partial \vec{M}}{\partial z}\right)^2,$$

то рассматриваемый функционал можно представить в виде:

$$\int_V F(\vec{M}, \frac{\partial \vec{M}}{\partial x}, \frac{\partial \vec{M}}{\partial y}, \frac{\partial \vec{M}}{\partial z}) dV.$$

Условие экстремумов этого функционала [16]:

$$\int_V \left( F_{\vec{M}} - \frac{\partial}{\partial x} \left\{ F_{\vec{p}} \right\} - \frac{\partial}{\partial y} \left\{ F_{\vec{q}} \right\} - \frac{\partial}{\partial z} \left\{ F_{\vec{s}} \right\} \right) \delta \vec{M} dV = 0, \quad (3)$$

где  $F_{\vec{M}}$  - частная производная функции  $F$  по  $\vec{M}$ ,

$$\frac{\partial}{\partial x} \left\{ F_{\vec{p}} \right\}, \quad \frac{\partial}{\partial y} \left\{ F_{\vec{q}} \right\}, \quad \frac{\partial}{\partial z} \left\{ F_{\vec{s}} \right\},$$

где

$$\vec{p} = \frac{\partial \vec{M}}{\partial x}, \quad \vec{q} = \frac{\partial \vec{M}}{\partial y}, \quad \vec{s} = \frac{\partial \vec{M}}{\partial z}$$

- так называемые полные частные производные.

Например, при вычислении  $\frac{\partial}{\partial x} \left\{ F_{\vec{p}} \right\}$ ,  $y$  и  $z$  считаются фиксированными, а зависимость  $\vec{M}$ ,  $\vec{p}$ ,  $\vec{q}$  и  $\vec{s}$  от  $x$  учитывается.

Для рассматриваемого случая выражение (3) принимает вид:

$$\int_V \left( \vec{H}_e - \frac{1}{\mu_0} \frac{\partial E_o}{\partial \vec{M}} - \frac{1}{\mu_0} \frac{\partial E_a}{\partial \vec{M}} + \frac{c}{\mu_0} \Delta \vec{M} \right) \delta \vec{M} dV = 0. \quad (4)$$

Для того чтобы последний интеграл был равен нулю, учитывая произвольность величины  $\delta \vec{M}$ , векторная величина

$$\vec{H}' = \vec{H}_e - \frac{1}{\mu_0} \frac{\partial E_o}{\partial \vec{M}} - \frac{1}{\mu_0} \frac{\partial E_a}{\partial \vec{M}} + \frac{c}{\mu_0} \Delta \vec{M}$$

должна быть перпендикулярна вектору  $\delta \vec{M}$ .

Так как модуль вектора  $\vec{M}$  постоянный, то вектор  $\delta \vec{M}$  перпендикулярен вектору  $\vec{M}$ . Поэтому, учитывая произвольность направления вектора вариации  $\delta \vec{M}$ , вектор  $\vec{M}$  должен быть направленным либо по вектору  $\vec{H}'$ , либо против. Последний случай соответствует максимуму энергии ферромагнетика. Направление вектора  $\vec{M}$  по вектору  $\vec{H}'$  соответствует отыскиваемому условию минимума суммарной энергии. Это говорит о том, что величина  $\vec{H}'$  по своему действию на вектор намагниченности аналогична полю, поэтому она отождествляется с эквивалентным полем в уравнении (I):

$$\vec{H} = \vec{H}' = \vec{H}_e - \frac{1}{\mu_0} \frac{\partial E_o}{\partial \vec{M}} - \frac{1}{\mu_0} \frac{\partial E_a}{\partial \vec{M}} + \frac{c}{\mu_0} \Delta \vec{M}, \quad (5)$$

где

$$\vec{H}_i = -\frac{1}{\mu_0} \frac{\partial E_o}{\partial \vec{M}} - \frac{1}{\mu_0} \frac{\partial E_a}{\partial \vec{M}} + \frac{c}{\mu_0} \Delta \vec{M} \quad (6)$$

- внутреннее поле.

В общем случае не всегда можно представить плотность энергии размагничивающего поля  $E_0$  в виде функции вектора  $\vec{M}$  в рассматриваемой точке. В этих случаях можно положить:

$$\vec{H} = \vec{H}_e + \vec{H}_0 - \frac{1}{\mu_0} \frac{\partial E_0}{\partial \vec{M}} + \frac{c}{\mu_0} \Delta \vec{M},$$

где поле  $\vec{H}_0$  может быть рассчитано, например, методами магнитостатики.

В магнитомягких ферромагнетиках

$$|\vec{H}| \ll |\vec{M}| = M. \quad (7)$$

Это условие часто используется при рассмотрении конкретных задач [1,8].

В однодоменных ферромагнитных пленках, толщина которых на много порядков меньше остальных размеров, существуют особые условия для движения вектора намагниченности.

Для таких пленок можно положить:

$$H_{oz} = -M_z, \quad (8)$$

$$H_{ox} = H_{oy} = 0, \quad (9)$$

если ось  $Z$  направить перпендикулярно пленке, а оси  $x$  и  $y$  расположить в плоскости пленки. <sup>1)</sup> Это означает, что при своем движении вектор намагниченности мало отклоняется от плоскости пленки, так как его проекция  $M_z$  оказывается по величине равной одной из составляющих внутреннего поля, которое, согласно (7), значительно меньше величины  $M$ . Другими словами, в однодоменных ферромагнитных пленках

$$M_x, M_y \gg M_z. \quad (10)$$

Малые отклонения вектора намагниченности в направлении, перпендикулярном плоскости пленки, позволяют положить:

$$H_{z0} \approx H_z = -M_z \quad (\text{при } H_{xe} = 0). \quad (11)$$

Таким образом, для пленок можно считать, что

$$\vec{H} = \vec{i} H_x + \vec{j} H_y - \vec{k} M_z, \quad (12)$$

где  $H_x$  и  $H_y$  - проекции эквивалентного поля на оси  $x$  и  $y$ .

<sup>1)</sup> Приближенно можно считать размагничивающие факторы

$$N_x = 0, \quad N_y = 0, \quad N_z = 1.$$

Подставляя в уравнение (1) выражения для  $\vec{H}$ , согласно равенству (12), и выражение для вектора намагниченности

$$\vec{M} = \vec{i} M_x + \vec{j} M_y + \vec{k} M_z, \quad (13)$$

пренебрегая членами, содержащими  $H^2$ , после ряда промежуточных выкладок, можно получить уравнения:

$$\frac{\partial M_x}{\partial t} = -M_y M_z - \frac{\mathcal{L}}{M} M_y (M_x H_y - M_y H_x); \quad (14)$$

$$\frac{\partial M_y}{\partial t} = M_x M_z - \frac{\mathcal{L}}{M} M_x (M_y H_x - M_x H_y); \quad (15)$$

$$\frac{\partial M_z}{\partial t} = M_x H_y - M_y H_x - \mathcal{L} M M_z. \quad (16)$$

Причем, любые два из этих уравнений связаны условием

$$M_x^2 + M_y^2 = M^2. \quad (17)$$

Из уравнений (14) и (15), исключая  $M_z$  и пренебрегая малыми членами порядка выше первого, можно получить уравнение:

$$\frac{\partial^2 M_x}{\partial t^2} - \frac{\partial M_x}{\partial t} \frac{\partial M_y}{\partial t} \frac{1}{M_y} + \mathcal{L} M \frac{\partial M_x}{\partial t} + (1 + \mathcal{L}^2) M_x M_y H_y - (1 + \mathcal{L}^2) M_y^2 H_x = 0. \quad (18)$$

При замене  $M_x = M \sin \varphi,$   
 $M_y = M \cos \varphi,$

где  $\varphi$  - угол между направлением вектора намагниченности и осью  $y$ , и учёте уравнения (17) уравнение (18) получает вид:

$$\gamma \frac{\partial^2 \varphi}{\partial t^2} + \xi \frac{\partial \varphi}{\partial t} + \mu_0 M H_y \sin \varphi - \mu_0 M H_x \cos \varphi = 0, \quad (19)$$

где  $\gamma = \frac{1 + \mathcal{L}^2}{\mu_0 \gamma^2}, \quad \xi = \frac{\mathcal{L} M}{\gamma}.$

Уравнение (19) по своему виду напоминает уравнение механических моментов, действующих на магнитный момент в единице объема вещества пленки. Поэтому можно считать  $\gamma$  - моментом инерции носителей магнетизма в единице объема пленки,  $\xi$  - коэффициентом, характеризующим трение в единице объема пленки. Можно положить плотность энергии анизотропии [8], равной

$$E_a = K \cdot \sin^2 \varphi$$

где  $\psi$  - угол между направлением вектора намагниченности и направлением оси легкого намагничивания, а  $K$  - константа анизотропии.

Для определенности можно считать, что ось легкого намагничивания направлена вдоль оси  $y$  и  $\psi = \varphi$ . При этом второе слагаемое внутренней поля из формулы (6) будет равно:

$$\vec{H}_a = -\frac{1}{\mu_0} \frac{\partial E_a}{\partial \vec{M}} = -\frac{K}{\mu_0} \frac{d}{d\vec{M}} \left( \frac{\vec{i} \vec{M}}{M} \right)^2 = -\frac{2K}{\mu_0 M^2} M_x \vec{i}.$$

Первое же слагаемое формулы (6) уже учтено (уравнения (8) и (9)), а третье слагаемое для однодоменных пленок равняется нулю.

Следовательно, в однодоменной пленке компоненты поля по  $x$  и  $y$  оказываются равными:

$$H_y = H_{ye}, \quad H_x = H_{xe} - H_K \sin \varphi,$$

где 
$$H_K = \frac{2K}{\mu_0 M},$$

а  $H_{ye}$  и  $H_{xe}$  - величины внешних полей по  $x$  и  $y$ . Отсюда и из уравнения (19) следует искомое уравнение:

$$n^2 \frac{d^2 \varphi}{d\theta^2} + \beta n \frac{d\varphi}{d\theta} + \frac{1}{2} \sin 2\varphi + h_{ye} \sin \varphi - h_{xe} \cos \varphi = 0, \quad (20)$$

где

$$n = \frac{\omega}{\omega_c}, \quad \omega_c = \mu_0 \gamma \sqrt{\frac{H_K M}{1 + \alpha^2}};$$

$$\theta = \omega t, \quad \beta = \alpha \sqrt{\frac{M}{(1 + \alpha^2) H_K}};$$

$$h_{ye} = \frac{H_{ye}}{H_K}, \quad h_{xe} = \frac{H_{xe}}{H_K}.$$

## 2. Уравнения параметрических колебаний

Рассматривается устройство, в котором ферромагнитная пленка является сердечником некоторой катушки индуктивности, включенной параллельно некоторой емкости. Параметрические ко-

лебания в таком контуре возникают при периодическом изменении индуктивности за счет внешнего периодического поля. Спецификой пленочных параметронов является простота конструкции, при которой внешнее поле изменяет периодически индуктивность контура и не наводит в этом контуре э.д.с. своей частоты. На рис. 1 приведена принципиальная схема пленочного параметрона с осью легкого намагничивания, направленной вдоль прикладываемого внешнего поля. На этом рисунке  $H_{2f}$  - величина амплитуды и направление внешнего периодического поля частоты  $2f$ ,  $H_0$  - величина и направление постоянного поля.

Для получения искомых уравнений можно положить в уравнение (20) для рассматриваемого случая

$$h_{ye} = h_0 + h \sin 2\theta,$$

где 
$$h_0 = \frac{H_0}{H_K}, \quad h = \frac{H_{2f}}{H_K},$$

и определить  $h_{xe}$  из уравнений контура.

Уравнения контура можно составить следующим образом. Поток обмотки параметрона  $\Phi_x = \Phi_x' + \Phi_x''$ , где  $\Phi_x' = B_x S'$ ,  $B_x = \mu_0 (M_x + H_{xe}) \approx \mu_0 M_x$ , а  $S'$  - площадь поперечного сечения пленки по оси  $y$ ;  $\Phi_x'' = \mu_0 H_{xe} S''$ ,  $S''$  - площадь промежутка между пленкой и обмоткой. Считается, что поле  $H_{xe}$  одинаковое и в магнитной пленке и в промежутке между магнитной пленкой и обмоткой.

Теперь для контура в целом можно написать уравнения (при одном витке обмотки катушки):

$$e = -\frac{d\Phi_x}{dt} = -\mu_0 S' \frac{dM_x}{dt} - \mu_0 S'' \frac{dH_{xe}}{dt},$$

$$i = c \frac{du}{dt} + \frac{u}{\tau}, \quad u = e - i\tau',$$

где  $e$  - э.д.с. самоиндукции,

$u$  - напряжение на конденсаторе,

$i$  - ток контура,

$c$  - емкость конденсатора,

$\tau$  - сопротивление, параллельное емкости  $C$  и выражающее потери в конденсаторе,

$\tau'$  - сопротивление обмотки.

Можно принять  $H_{xe} = \rho i$ , где  $\rho$  - некоторый коэффициент, выражение для которого определяется конструкцией обмотки.

Из последних уравнений можно получить систему уравнений,

описывающих параметрические колебания в параметроне на ферромагнитной пленке:

$$n^2 \frac{d^2 \varphi}{d\theta^2} + \lambda \frac{d\varphi}{d\theta} + \frac{1}{2} \sin 2\varphi + (h_0 + h \sin 2\theta) \cdot \sin \varphi - h_{xe} \cos \varphi = 0; \quad (21)$$

$$k_0 h_{xe} + k_1 \frac{d h_{xe}}{d\theta} + k_2 \frac{d^2 h_{xe}}{d\theta^2} = -k_3 \frac{d^2}{d\theta^2} \sin \varphi - k_4 \frac{d}{d\theta} \sin \varphi;$$

где

$$\lambda = \beta n = \frac{\omega}{\mu_0 \gamma H_K};$$

$$k_0 = 1 + \frac{\gamma'}{\gamma};$$

$$k_1 = \frac{\rho \mu_0 s'' \omega}{\gamma} + c \gamma' \omega;$$

$$k_2 = \rho \mu_0 s' c \omega^2;$$

$$k_3 = \frac{\rho \mu_0 s' c \omega^2 M}{H_K};$$

$$k_4 = \frac{\rho \mu_0 s' \omega M}{\gamma H_K}.$$

Решение системы (21) на электронной вычислительной машине проведено в статье 3 этого сборника (при указанных допущениях).

Мощность, которая выделяется в параметроне, можно оценить при условии:  $k_1 = k_2 = k_4 = 0$ ,  $k_0 = 1$ , не решая системы (21).

Мощность, выделяющаяся в единице объема ферромагнетика пленки, равна:

$$\rho = H_{ye} \frac{d B_y}{dt} = -\omega \mu_0 M H_K (h_0 + h \sin 2\theta) \sin \varphi \frac{d \varphi}{d \theta},$$

где черта означает усреднение по времени.

Последнее выражение показывает, что можно оценить величину мощности, умножив первое уравнение (21) на  $\frac{d \varphi}{d \theta}$  (после подстановки  $h_{xe} = -\frac{k_3}{k_0} \frac{d^2}{d\theta^2} \sin \varphi$ ) и усреднив его.

Можно показать, что в результате усреднения для  $\rho$  получается выражение:

$$\rho = \omega \mu_0 M H_K \lambda \overline{\left( \frac{d \varphi}{d \theta} \right)^2}.$$

Откуда, полагая  $\varphi \approx \varphi_m \sin \theta$ , где  $\varphi_m$  - максимальный угол отклонения вектора  $\vec{M}$  относительно оси  $y$ , можно получить:

$$\rho \approx \omega^2 \frac{\lambda B_s}{2 \mu_0 \gamma} \varphi_m^2, \quad (22)$$

где  $B_s = \mu_0 M$ .

Для того, чтобы получить мощность  $P$ , выделяющуюся во всей пленке, надо умножить величину  $\rho$  на объем пленки  $V$ :

$$P = \rho V.$$

### 3. Уравнение вращения вектора намагниченности

Возможность вращения вектора намагниченности в пленке показана в статье 2 этого сборника на основе решения уравнения (20). Однако, как показано в статье 4 этого сборника, вращение происходит при значениях  $h > 0,1$ , а это означает, что частота внешнего поля для пермалловых пленок должна быть больше 50 мгц. При этом для получения широких областей вращений (в координатах  $n, h$  (см. статью 4)) желательно проводить эксперименты при  $n \approx 1$ , то есть для пермалловых пленок при частотах порядка 500 мгц. При таких частотах проведение экспериментов пока затруднительно. Однако частоту возбуждающего поля для получения широких областей вращения в пленках можно уменьшить, помещая пленку в две катушки, создающие взаимно-перпендикулярные поля с обмотками, включенными на емкости (рис. 2).

Если сделать обмотки катушек плотно облегающими пленку (например, напылением) и если пренебречь потерями в конденсаторах и в обмотках, то для контуров можно записать уравнения (при одном витке обмотки катушки):

$$e_x = -\frac{d \Phi_x}{dt} = -\mu_0 s' \frac{d M_x}{dt};$$

$$e_y = -\frac{d \Phi_y}{dt} = -\mu_0 s' \frac{d M_y}{dt};$$

$$i_x = c_x \frac{de_x}{dt}; \quad i_y = c_y \frac{de_y}{dt};$$

$$H_{xe} = \rho_x i_x; \quad H_{ye} = \rho_y i_y,$$

где значки  $x$  приписаны э.д.с., току и параметрам катушки, создающей поле вдоль оси  $x$ , а значки  $y$  - катушке, создающей поле вдоль оси  $y$ .

Принимая для простоты  $c_x = c_y = c$  и  $\rho_x = \rho_y = \rho$ , из последних уравнений и из уравнения (20) можно получить:

$$n^2 \frac{d^2 \varphi}{d\theta^2} + \beta' n' \frac{d\varphi}{d\theta} + \frac{1}{2} \sin 2\varphi - h \sin \theta \cos \varphi = 0, \quad (23)$$

где  $\theta = \omega' t, \quad n' = \frac{\omega'}{\omega_c};$

$$\omega_c' = \mu_0 \gamma \sqrt{\frac{\rho H_K M}{\rho(1+\mathcal{L}'^2) + \mu_0^3 \gamma^2 M C}};$$

$$\beta' = \mathcal{L}' \sqrt{\frac{\rho M}{H_K [\rho(1+\mathcal{L}'^2) + \mu_0^3 \gamma^2 M C]}};$$

где  $\omega'$  - новое значение для круговой частоты возбуждающего поля при вращении,

и  $\mathcal{L}'$  - значение коэффициента релаксации при этой частоте.

Уравнение (23) при  $n' = n$  и  $\beta' = \beta$  совпадает с уравнением (I) статьи 4, описывающим вращение вектора намагниченности в пленке. Значит, наиболее широкие области вращения можно получить опять же при  $n' \approx n \approx 1$ . Но, как видно из формул:

$$n = \frac{\omega}{\omega_c}, \quad n' = \frac{\omega'}{\omega_c};$$

$$\omega_c = \mu_0 \gamma \sqrt{\frac{M H_K}{(1+\mathcal{L}^2)}};$$

$$\omega_c' = \mu_0 \gamma \sqrt{\frac{M H_K}{(1+\mathcal{L}'^2) + \frac{\mu_0^3 \gamma^2 M C}{\rho}}};$$

при  $n' \approx n \approx 1$  частоту  $\omega'$  можно сделать меньше  $\omega$  при  $C \neq 0$  и  $\mathcal{L}' > \mathcal{L}$ , ибо  $\omega'$  уменьшается с уменьшением  $\omega_c'$ , а  $\omega_c'$  можно уменьшить по сравнению с  $\omega_c$  за счет увеличения  $C$ .

Условие  $\mathcal{L}' > \mathcal{L}$  при  $\omega' < \omega$  следует из экспериментальных данных ([8], для пленок 80% Ni, 20% Fe), согласно которым

$$\mathcal{L} \approx \frac{(17 \div 28) \cdot 10^6}{\omega} + 0,01,$$

$$\mathcal{L}' \approx \frac{(17 \div 28) \cdot 10^6}{\omega'} + 0,01.$$

Согласно статье 4, вращение получено при  $n = 1$  и  $\beta = 0, 1$  и 2. Можно показать, что  $\beta' \leq \beta$ . В самом деле, так как

$$\lambda = \beta n = \frac{\omega \mathcal{L}}{\mu_0 \gamma H_K},$$

$$\lambda' = \beta' n' = \frac{\omega' \mathcal{L}'}{\mu_0 \gamma H_K},$$

то при  $\omega' < \omega$   $\lambda' < \lambda$ .

Отсюда, так как  $n \approx n' \approx 1$ , следует, что

$$\beta' < \beta.$$

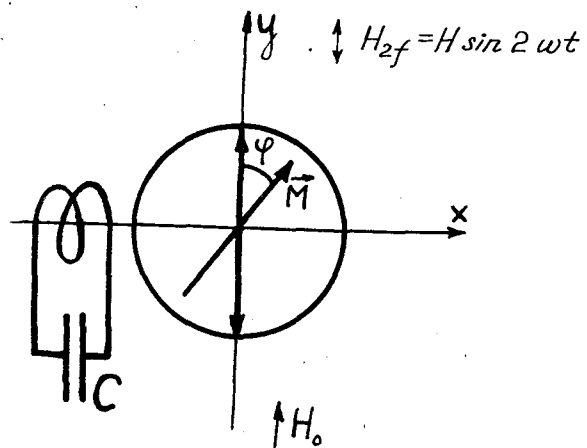
Для реальных параметров пермалловых пленок  $\lambda \approx 0,6$ . Это показывает, что достаточно широкие области вращения можно получить и при более низких частотах за счет применения добавочных контуров.

Выражение для мощности, выделяющейся при вращении вектора намагниченности, можно получить такими же приемами, как и при получении выражения для мощности при параметрических колебаниях. При вращении в единицу объема пленки выделяется мощность

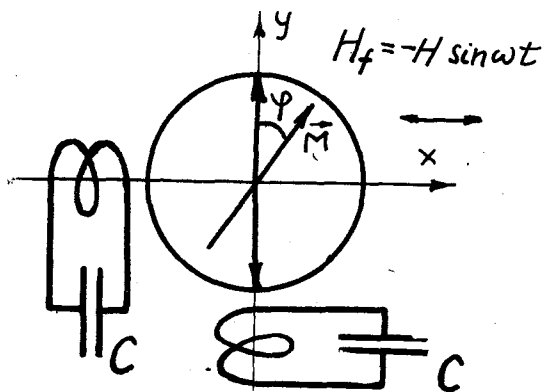
$$P \approx \omega^2 \frac{\mathcal{L} B_S}{\mu_0 \gamma}. \quad (24)$$

Во всей пленке выделяется мощность

$$P = \rho V.$$



Р и с.1. Схема пленочного параметрона (двумя стрелками на пленке обозначено направление оси легкого намагничивания, одной стрелкой - направление вектора намагниченности).



Р и с.2. Схема получения вращения вектора намагниченности при пониженных частотах.

#### ЛИТЕРАТУРА

1. Ландау Л.Д., Лифшиц Е.М., *Zs.Sov.Phys.*, 1935, 8, 153.
2. Gilbert T.L., *Phys.Rev.*, 1955, 100, 1243.
3. Вонсовский С.В., Шур Я.С. Ферромагнетизм. М., ГИТТЛ, 1948.
4. Ферромагнитный резонанс. - Сб. статей под редакцией С.В. Вонсовского. М., ИЛ, 1952.
5. Ферромагнитный резонанс. - Сб. статей под редакцией С.В. Вонсовского. М., ГИРМЛ, 1961.
6. Ферриты в нелинейных сверхвысокочастотных устройствах. - Сб. статей под редакцией А.Г. Гуревича. М., ИИЛ, 1961.
7. Suhl H., *J.Phys.Chem.of Solids*, 1957, 1, 4, 209.
8. Smith, *J.Appl.Phys.*, 1958, 29, 3.
9. Sanders, *J.Appl.Phys.*, 1961, 29, 3.
10. Стреттон. Теория электромагнетизма. М., ГИТТЛ, 1948.
11. Поливанов К.М. Динамические характеристики элементов электрических цепей. - ДАН СССР, 1958, 118, 1, 80-83.
12. Phoc A.V., Read A.A., Stewart R.M., Shhauer R.F., *J.Appl. Phys.*, 31, 5, Suppl., 1960, 119-120.
13. Stockman H.E., *Proc.IRE*, 1960, 48, 6, 1157-1158.
14. Coto E., *Proc.IRE.*, 47, 8, 1304-1316.
15. Kiruchi R., *J.Appl.Phys.*, 1956, 27, 11, 1352.
16. Эльсгольц. Вариационное исчисление. М., ГИТТЛ, 1952.
17. Methfessel S., Middelhook S., Thomas H., *J.Appl.Phys.*, 1961, 32, 10.
18. Gilletts P.R., Oshima K., *J.Appl.Phys.*, 1958, 29, 529.
19. Wolf P., *J.Appl.Phys.Suppl.*, 1961, 32, 3.